

УДК 621.39, 004.7

Т. Р. ШМЕЛЁВА, канд. техн. наук, доцент,

Одеськая национальная академия связи им. А. С. Попова

Анализ эффективности вычислительных решеток реентерабельными раскрашенными сетями Петри

Разработан метод моделирования вычислительных решеток реентерабельными раскрашенными сетями Петри, что позволило получить модели с инвариантной структурой и исследовать решетки большого размера под воздействием злонамеренного трафика. Результаты исследования совпадают с ранее полученными для малых размеров решеток с помощью традиционных моделей. Выявленная уязвимость вычислительных решеток стимулирует дальнейшие исследования по разработке средств противодействия атакам.

Ключевые слова: вычислительные решетки; реентерабельность; раскрашенные сети Петри; злонамеренный трафик.

Введение и постановка задачи

Раскрашенная сеть Петри (РСП) является универсальной алгоритмической системой и удобным средством моделирования телекоммуникационных сетей. РСП имеет ряд существенных преимуществ даже по сравнению с такими специализированными системами, как ns и OpNet. Преимуществами РСП, которые отмечены в [2], являются наглядность графического представления, лаконичность конструкций языка функционального программирования ML (рекурсивные функции), возможность комбинирования аналитических и имитационных методов исследования модели. Традиционный метод построения моделей предполагает прямое отображение топологии сети в структурных элементах РСП. Недостаток этого метода — необходимость перекомпоновки модели для каждой новой топологической схемы сети.

Вычислительные решетки играют ключевую роль в решении «неподдающихся» задач в различных прикладных областях, таких как ядерная физика, молекулярная генетика, структурная биология. Объединение большого количества вычислительных узлов в виртуальную структуру куба (гиперкуба), тора, шара позволяет получить решение задачи за приемлемое время. Выполнено моделирование вычислительных решеток РСП [6] и дана оценка влияния злонамеренного трафика на функционирование решетки. Однако метод прямого отображения структуры решетки в РСП позволяет исследовать сравнительно небольшие решетки, например 8×8 .

Таким образом, возникает актуальная задача моделирования вычислительных решеток произвольного размера РСП, структура которых незначительно зависит или совсем не зависит от топологии сети.

Анализ литературных данных

Обзор современных вычислительных решеток представлен в [1]. Методы моделирования телекоммуникационных систем разработаны в монографии [2]. Особенности моделирования вычислительных решеток раскрашенными сетями Петри [5] представлены в [6]. Кроме того, принципы объектного моделирования излагаются в [3], основы программирования на языке ML изложены в [4]. Однако методы построения моделей вычислительных решеток с инвариантной структурой ранее не обсуждались в литературе.

Цель и задачи исследования

Целью настоящей работы является построение методов исследования вычислительных решеток произвольного размера за счет использования моделей с инвариантной структурой на основе свертки топологии при помощи переключения тегов. Для достижения данной цели решались следующие задачи:

- свертка топологии сети в массиве параметров, представленных в виде маркировки позиции РСП;
- формирование множества и структуры тегов, ассоциированных с динамическими объектами модели;
- разработка процедур переключения тегов;
- модификация и адаптация базовых элементов моделей решеток: коммуникационный узел, терминальный (абонентский) узел, генератор (пушка) злонамеренного трафика.

Модель вычислительной решетки в виде реентерабельной раскрашенной сети Петри

Модель вычислительной решетки, построенная в форме РСП, представлена в [6]. Для построения модели применен принцип прямого отображения, когда для каждого элемента решетки построена подмодель, т. е. количество подмоделей соответствует количеству элементов решетки. При этом объем модели увеличивался пропорционально размеру изучаемой решетки. Так, объем модели квадратной решетки размера 8×8 составил 4,5 Мбит, что затрудняло загрузку, тестирование и исследование свойств модели. Объем предлагаемой в этой статье модели прямоугольной вычислительной решетки [8] в виде

реентерабельной раскрашенной сети Петри (РРСП) не зависит от размерности решетки, имеет неизменное значение и составляет 750 Кбит. Термин «реентерабельность» (буквально «повторная входимость») означает способность каждого фрагмента моделировать одновременно несколько работающих устройств соответствующего типа. Модель вычислительной решетки в виде РРСП представлена на рис. 1.

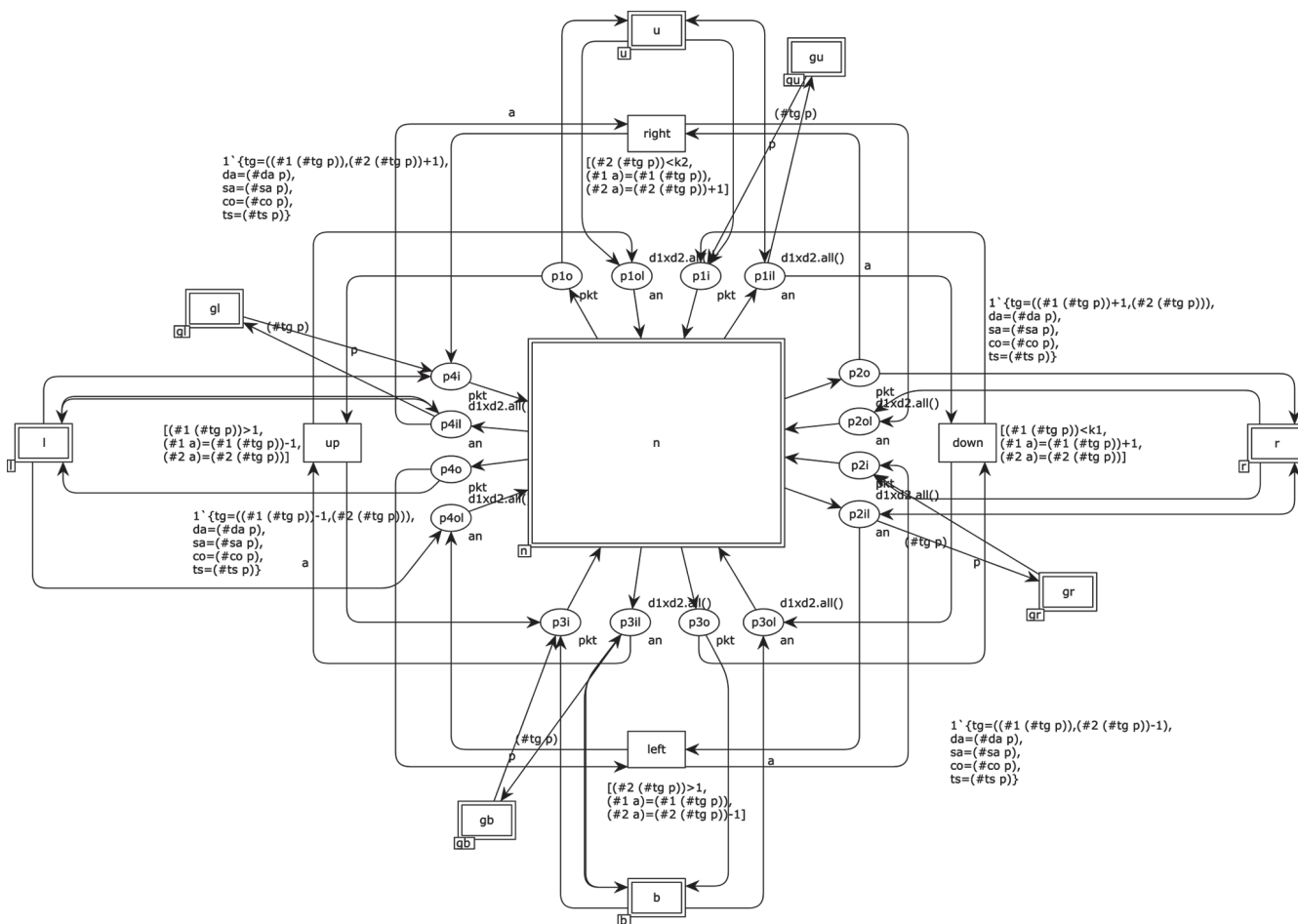


Рис. 1. Модель прямоугольной вычислительной решетки

Для создания модели применялся принцип иерархической композиции, используемой для построения сложных моделей. Подмодели решетки были представлены переходами сети Петри. Модель состоит из двух главных подмоделей: модели коммуникационного узла (*data communication equipment — DCE*) и терминального оборудования (*data terminal equipment — DTE*), а также вспомогательной подмодели, с помощью которой генерируется вредоносный трафик в сети.

Модель 4-портового коммуникационного узла представлена единичной подмоделью, описывающей все узлы решетки любой размерности. Например, на рис. 1 — переходом *n* и 16-тью совмещенными позициями, расположенными на сторонах перехода (четыре полнодуплексных порта, каждый моделируется четырьмя позициями). Так, четвертый порт представлен позициями *p4i* и *p4il*, моделирующими входной порт, а позиции *p4o* и *p4ol* моделируют соответственно выходной порт. Для решетки 8×8 начальная маркировка позиций ограничителей портов *p4il*, *p4ol* равна 64.

Модель терминального оборудования представлена четырьмя подмоделями, названия которых выбраны в соответствии с их крайним расположением. На рис. 1 — переходами *u* («upper» верхний), *b*, *l*, *r* и 16-тью совмещенными позициями, описанными ранее. Вспомогательные подмодели, которые используются для генерации злонамеренного трафика, показаны переходами *gu*, *gb*, *gl*, *gr*. Передачу пакетов в сети между узлами DCE и DTE моделируют переходы *up*, *down*, *left*, *right*.

Модель коммуникационного узла DCE

Рассмотрим детальнее модель 4-портового коммуникационного узла, которая описывает все узлы решетки любой размерности. Количество описываемых коммутационных узлов для решетки размерности $k1 \times k2$ равно $k1 * k2$, например, для решетки 8×8 равно 64. Модель приведена на рис. 2.

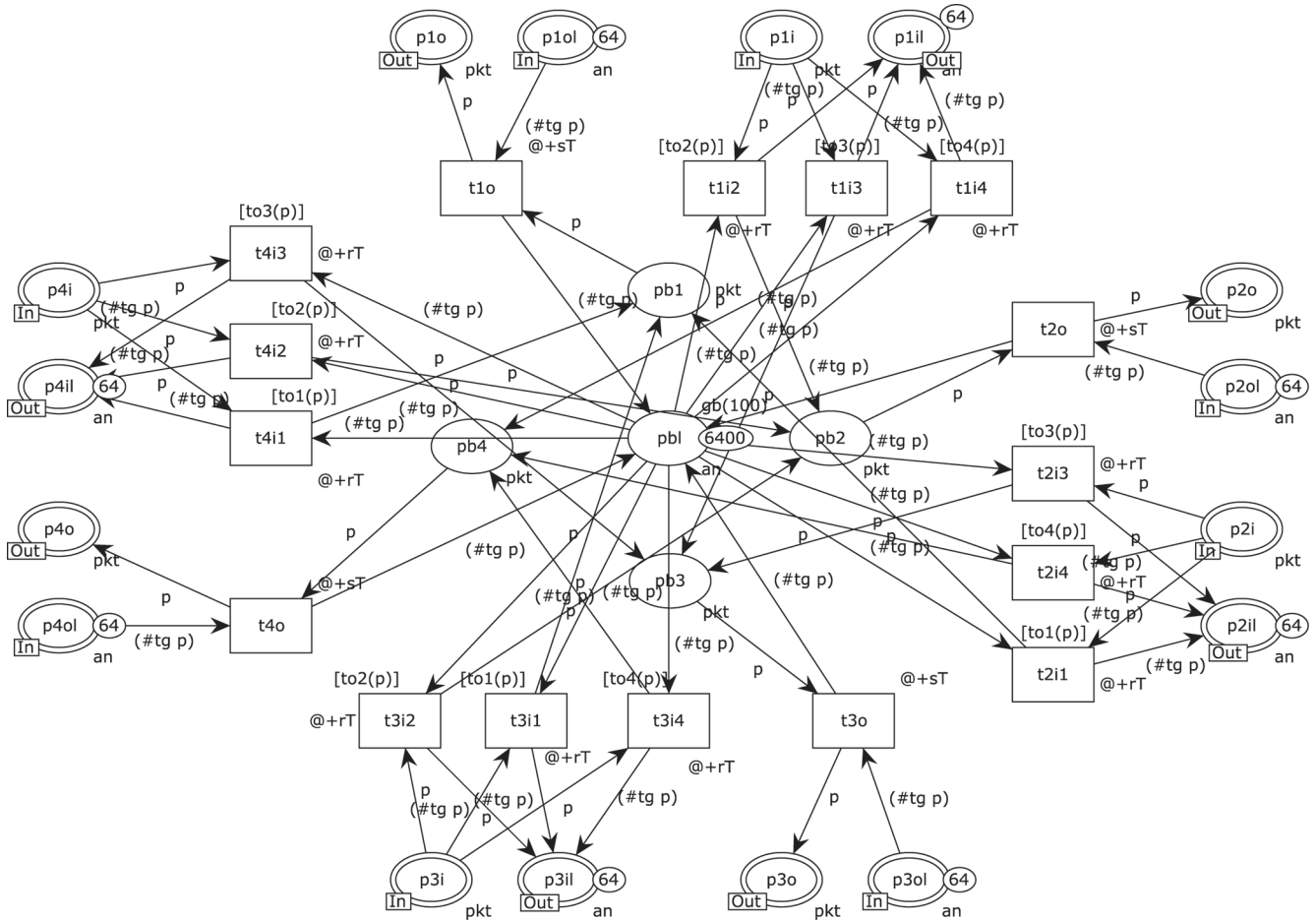


Рис. 2. Модель комунікаційного вузла

Для проведення вичислительних експериментів і оцінки ефективності роботи вичислительної решетки для кожного переходу моделі задані часові параметри sT і rT , представляючі часові затримки відправки і отримання пакета. Для реалізації алгоритму комутації пакетів використовуються основні $to1(p)$, $to2(p)$, $to3(p)$, $to4(p)$ і допоміжні предикати переадресації fun_v1 , fun_db4 , fun_cb4 , fun_nb4 і т. д., описані в [6].

Кількість контактних позицій портів, розташованих на сторонах квадрата, правила композиції решетки, які визначають з'єднання каналів протилежних типів, т. е. вихідний канал з'єднується з входним каналом сусіднього вузла і навпаки, а також правила прийому і відправки повідомлення відповідають описаним в [6]. Модель решетки розмірності $k1 \times k2$ оптимізується заміною всіх моделей комутаційних вузлів решетки, а саме $k1 * k2$, однією моделлю, що містить в відповідних позиціях маркування, рівну розмірності решетки. Для прикладу решетки 8×8 : 64 моделі комутаційних вузлів замінюються однією моделлю вузла, в якій виконана свертка топології з допомогою комутації тегів, де параметром є розмірність решетки, представлена маркуванням в відповідних позиціях буфера вузла, входних і вихідних портів.

Розмір внутрішнього буфера вузла, або інакше маркування позиції pbl розраховується як добуток кількості вузлів решетки на розмір одного буфера. Наприклад, для решетки 8×8 і розміру внутрішнього буфера одного вузла 100 повідомлень маркування позиції pbl дорівнює 6400.

Модель термінального обладнання DTE

В прямокутній решітці два числа (i, j) використовуються для адресації комунікаційних вузлів і термінального обладнання (i — номер рядка; j — номер стовпця). Таким чином, всі комунікаційні вузли пронумеровані від 1 до $k1$ по вертикалі, від 1 до $k2$ по горизонталі, а адреса термінального обладнання містить тільки один змінюваний індекс, другим індексом однаковим для всіх моделей одного типу. Наприклад, у DTE верхнього рівня перший індекс $i = 0$, а другим j змінюється від 1 до $k2$, у DTE правого рівня перший індекс i змінюється від 1 до $k1$, другим $j = k2 + 1$. Модель DTE вузла верхньої крайової сторони межі представлена на рис. 3.

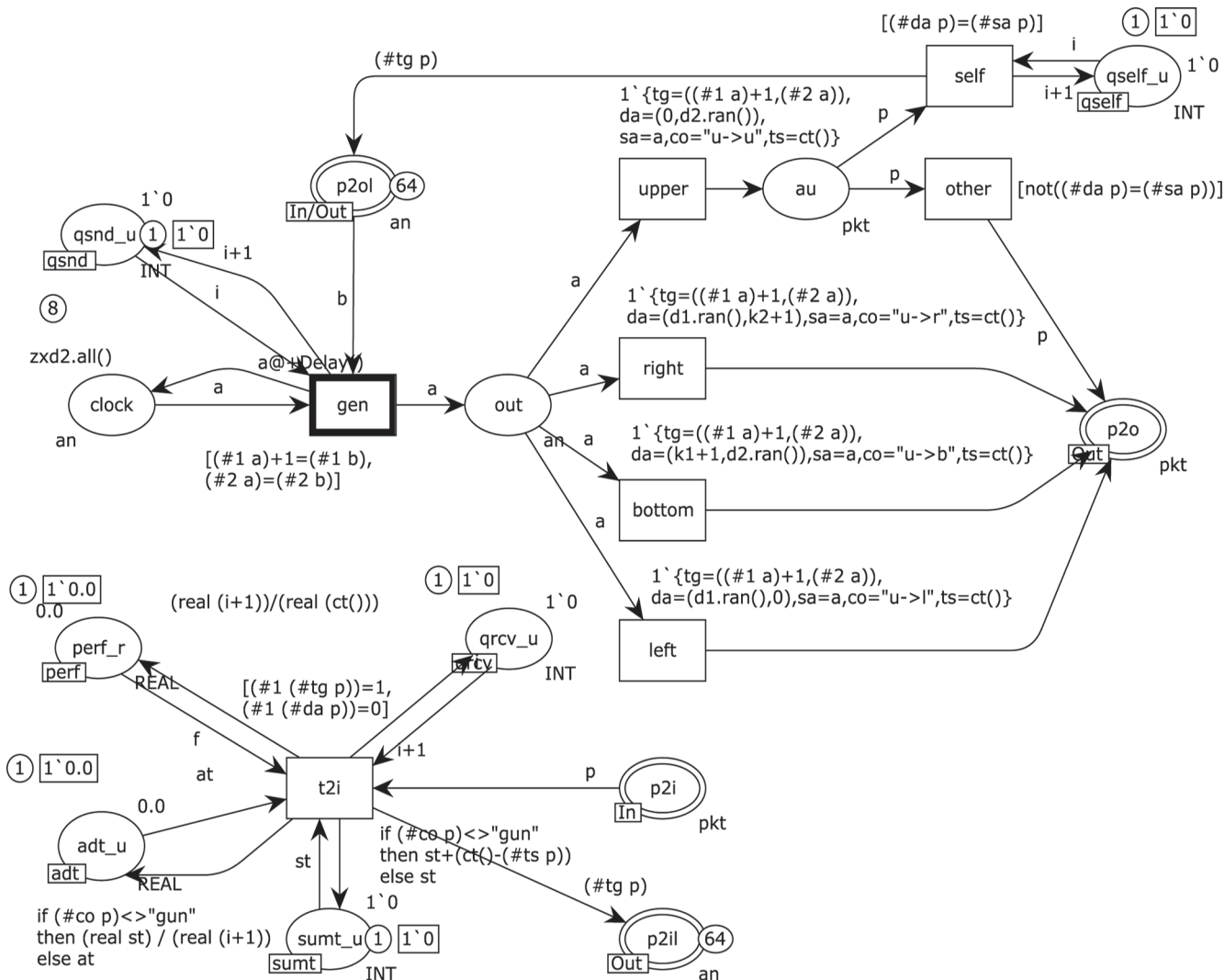


Рис. 3. Модель верхнього крайового термінального обладнання

Модель термінального обладнання складається з двох основних частин у відповідності з простейшими функціями узла DTE — генерації і отримання повідомлень. Розглянемо детальніше моделювання базових функцій термінального обладнання. Періодичність формуювання пакетів описується позицією *clock* при допомозі функції *Delay()*, яка є функцією розподілення випадкової змінної, в даній моделі — закон розподілення генерації пакетів узлом DTE. Оцінка ефективності функціонування решітки залежить від функції розподілення генерації трафіка. В моделюючій системі CPN Tools [5] для описання пользовательських випадкових функцій представлений широкий діапазон відомих законів розподілення.

Вторим умовою генерації пакета і запуску переходу *gen* є наявність фішки в позиції *p*ol*, яка означає, що вихідний порт вільний. При спрацьовуванні переходу *gen* лічильник кількості відправлених пакетів збільшується на одиницю. Описується цей лічильник маркуванням позиції *qsnd_**, а фішка, яка збігається з адресом поточного вузла *a*, потрапляє в позицію *out*. Для генерації адреса отримувача при допомозі функції *ran()* вибирається випадково один з переходів *left*, *upper*, *right*, *bottom*. Наприклад, до правої межі пакет і адрес отримувача формуються наступним вираженням: $1\{tg=((\#1\ a)+1,(\#2\ a)), da=(d1.ran(),k2+1), sa=a, co="u->r", ts=ct()\}$, яке містить час відправки повідомлення, описане вираженням $ts=ct()$. Тип *tg* описує тег, задаючий поточне положення пакета всередині решітки і представлений парой координат поточного вузла. Для фільтрації пакетів з власним адресом призначення використовується перехід *upper*, оскільки на рис. 3 представлена модель верхнього вузла.

Перехід *t*i* моделює прийом повідомлень, які не обробляються, а поглинаються; підрахунок кількості прийнятих повідомлень (значення зберігається в позиції *qrcv_**); вирахунок середнього часу доставки пакета в одиницях модельного часу MTU (значення знаходиться в позиції *adt_**).

Оценка эффективности решетки при разных видах нагрузки

В традиционной модели [6] исследование параметров качества обслуживания проводилось с учетом размера внутреннего буфера и производительности узла DCE, интенсивности рабочей нагрузки, описываемой распределением Пуассона. Было показано, что при малых значениях размера внутреннего буфера решетка попадает в тупик даже при трафике, который равняется 10% пропускной способности решетки. Достаточно большой буфер, например размером 10 000 и более, не позволяет наблюдать тупики даже при пиковой нагрузке. Поэтому для вычислительных экспериментов с моделью коммутации тегов выбран размер буфера, равный 100.

Результаты эксперимента для рабочей нагрузки разной интенсивности представлены в табл. 1. В качестве исследуемых параметров качества обслуживания выбраны производительность решетки и среднее время доставки пакета.

Таблица 1

Результаты вычислительного эксперимента для решетки 8 × 8 при разной рабочей нагрузке

Интенсивность рабочей нагрузки решетки 8 × 8	Шаг (Step)	Время (Time)	Производительность решетки (packets/MTU)	Среднее время доставки пакета (MTU)
90,0	10000000	1131590	0,34	78
30,0	10000000	377553	1,03	79
20,0	10000000	251396	1,54	81
10,0	10000000	126200	3,09	97
9,0	10000000	114209	3,41	121
8,0	976995*	13440	2,65	253
7,0	457478*	7550	2,07	266
6,0	333540*	5165	2,17	271
5,0	273547*	3521	2,57	264
4,0	212391*	2343	2,98	249

Результаты вычислительного эксперимента полностью совпадают с результатами, полученными в [6; 7] в пределах погрешности, что подтверждает адекватность предлагаемой реентерабельной модели, основанной на переключении тегов. Однако размерность решетки 8 × 8 является предельной для традиционной модели. При увеличении размерности решетки любая корректировка модели: добавление нового или удаление элемента, изменение значения переменных, констант или маркировки, — влечет за собой длительную (порядка 3 мин и более) синтаксическую проверку, что делает неэффективным процесс исследования решетки на оборудовании средней мощности. Время корректировки в предложенной модели не превышает нескольких секунд для решетки любой размерности. Результаты эксперимента для решетки 64 × 64 при разной рабочей нагрузке приведены в табл. 2.

Таблица 2

Результаты вычислительного эксперимента для решетки 64 × 64 при разной рабочей нагрузке

Интенсивность рабочей нагрузки решетки 64 × 64	Шаг (Step)	Время (Time)	Количество отправленных пакетов	Количество принятых пакетов	Производительность решетки (packets/MTU)	Среднее время доставки пакета (MTU)
30,0	1000000	1052	9112	3498	3,32	417
10,0	10000000	7299	62444	49485	6,78	920
4,0	1000000	325	22702	1566	4,81	165

Моделирование злонамеренного трафика, описание моделей пушек пакетов, присоединенных к границам решетки, основные характеристики пушек, которые влияют на поведение модели, а также конфигурации, для которых получены существенные результаты, — все эти вопросы изучены в [7]. Для исследования влияния злонамеренного трафика на QoS решетки остановимся на одной разновидности — на «дуэли» трафика. Выбор обусловлен тем, что данный вид трафика, создавая дополнительную нагрузку менее чем 10%, имеет меньшее влияние на качество обслуживания, маскируясь под рабочую нагрузку, однако при этом мгновенно приводит решетку в тупик. Результаты эксперимента для решетки 8 × 8 с добавлением разновидности злонамеренного трафика «дуэли» приведены в табл. 3. Решетка приходит в полный тупик при интенсивности рабочей нагрузки, в которой ранее тупик не наблюдался. Интенсивность трафика пушки $gl = 4,0$.

Результати вычислительного эксперимента для решетки 8 × 8 при «дуэли» трафика

Интенсивность рабочей нагрузки решетки 8 × 8	Шаг (Step)	Время (Time)	Количество отправленных пакетов	Количество принятых пакетов	Производительность решетки (packets/MTU)	Среднее время доставки пакета (MTU)
20,0	4972657	116736	192854	173260	1,48	97
10,0	995686	17470	41991	37003	2,12	132
90	782410	14192	34049	28393	2,01	143

Таким образом, результаты имитационного моделирования подтверждают возможность блокировки вычислительной решетки в условиях рабочей нагрузки при наличии злоумышленного трафика, который не превышает 10% общей нагрузки решетки, а в некоторых случаях 5% пиковой нагрузки решетки.

Выводы

Свертка топологии и построение моделей с переключением тегов позволили исследовать проблемы блокирования решеток посредством рабочего и злонамеренного трафика в среде моделирующей системы CPN Tools для решеток достаточно большого (реалистичного) размера. Было показано, что решетка, даже при низкой (около 30%) ее рабочей нагрузке, может быть заблокирована с полным тупиком узлов DCE при помощи «дуэли» трафика с дополнительной нагрузкой менее чем 5%. Для малых размеров сетей результаты совпадают с ранее полученными для традиционных моделей. Таким образом, подтверждена уязвимость структур решетки к атакам злонамеренным трафиком.

Реентерабельные модели, основанные на переключении тегов, являются перспективным направлением исследования эффективности и безопасности современных технологий вычислительных решеток и облаков.

Литература

1. **Preve, N. P.** *Grid Computing: Towards a Global Interconnected Infrastructure* / N. P. Preve.— Springer, 2011.— 312 p.
2. **Zaitsev, D. A.** *Clans of Petri Nets: Verification of protocols and performance evaluation of networks* / D. A. Zaitsev.— LAP LAMBERT Academic Publishing, 2013.— 292 p.
3. **Труб, И. И.** *Объектно-ориентированное моделирование на языке C++* / И. И. Труб.— СПб.: Питер, 2005.— 411 с.
4. **Jeffrey, D. Ullman.** *Elements of ML Programming* / D. Ullman Jeffrey.— Publisher New Jersey: Prentice Hall PTR, 1997.— 383 p.
5. **Zaitsev, D. A.** *Simulating Telecommunication Systems with CPN Tools: Students' book* / D. A. Zaitsev, T. R. Shmeleva.— Odessa: ONAT, 2006.— 60 p.
6. **Оценка** влияния злонамеренного трафика на функционирование вычислительных решеток / [Д. А. Зайцев, Т. Р. Шмельова, В. Ретсчитзеггер, Б. Пролл] // Радиотехника.— 2014.— Вып. 176.— С. 164–171.
7. **Blocking** Communication Grid via Ill-Intentioned Traffic / [D. A. Zaitsev, T. R. Shmeleva, W. Retschitzegger, B. Proll] // 14th Middle Eastern Simulation & Modelling Multiconference, February 3-5, 2014, Muscat, Oman.— P. 63–71.
8. **Shmeleva, T. R.** *Parametric Colored Petri net model of Computing Grids* / T. R. Shmeleva // 69 HT конференция ONAC, декабрь 3–5, 2014, Одесса.— С. 41–43.

Рецензент: доктор техн. наук, профессор **Н. В. Захарченко**, Одесская национальная академия связи им. А. С. Попова.

Т. Р. Шмельова

АНАЛІЗ ЕФЕКТИВНОСТІ ОБЧИСЛЮВАЛЬНИХ ҐРАТ ЗА ДОПОМОГОЮ РЕЕНТЕРАБЕЛЬНИХ РОЗФАРБОВАНИХ МЕРЕЖ ПЕТРІ

Розроблено метод моделювання обчислювальних ґрат реентерабельними розфарбованими мережами Петрі, що дозволило отримати моделі з інваріантною структурою і досліджувати ґрати великого розміру під впливом зловмисного трафіку. Результати дослідження збігаються з раніше отриманими для малих розмірів ґрат за допомогою традиційних моделей. Виявлена уразливість обчислювальних ґрат стимулює подальші дослідження з розробки засобів протидії атакам.

Ключові слова: обчислювальні ґрати; реентерабельність; розфарбовані мережі Петрі; зловмисний трафік.

T. R. Shmeleva

ANALYSIS OF EFFICIENCY OF COMPUTING GRIDS BY REENTERABLE COLOURED PETRI NETS

The method for modeling computing grids by reenterable coloured Petri nets was developed, which allowed obtaining models with invariant structure and investigating the big sized grids under the influence of ill-intentioned traffic. The research results coincide with ones obtained for the small size of arrays using traditional models. Revealed vulnerabilities of computing grids stimulate further research to develop means to counter attacks.

Keywords: computing grids; reenterability; coloured Petri nets; ill-intentioned traffic.